

## 2003年草津白根火山人工地震探査概要

筒井智樹<sup>1</sup>・鬼澤真也<sup>2</sup>・森 健彦<sup>3</sup>・野上健治<sup>2</sup>・  
平林順一<sup>2</sup>・小川康雄<sup>2</sup>・水橋正英<sup>2</sup>・及川光弘<sup>2</sup>・齋藤政城<sup>2</sup>・  
若林 亨<sup>2</sup>・高木憲朗<sup>2</sup>・鈴木敦生<sup>4</sup>・草薙智浩<sup>1</sup>・  
梶井達矢<sup>1</sup>・田中麻貴・及川 純<sup>5</sup>・中道治久<sup>6</sup>・  
山下祐一郎<sup>7</sup>・吉川 慎<sup>3</sup>・松島 健<sup>8</sup>・河野裕希<sup>8</sup>・  
堀 美緒<sup>8</sup>

1:秋田大学

2:東京工業大学

3:京都大学

4:北海道大学

5:東京大学

6:防災科学技術研究所

7:愛知教育大学

8:九州大学

## Seismic exploration 2003 in Kusatsu-Shirane Volcano

T. Tsutsui<sup>1</sup>, S. Onizawa<sup>2</sup>, T. Mori<sup>3</sup>, K. Nogami<sup>2</sup>,  
J. Hirabayashi<sup>2</sup>, Y. Ogawa<sup>2</sup>, S. Mizuhashi<sup>2</sup>, M. Oikawa<sup>2</sup>,  
M. Saito<sup>2</sup>, N. Takagi<sup>2</sup>, T. Wakabayashi<sup>2</sup>, A. Suzuki<sup>4</sup>,  
T. Kusanagi<sup>1</sup>, T. Kajii<sup>1</sup>, M. Tanaka T., H. Nakamichi<sup>6</sup>, J. Oikawa<sup>5</sup>,  
Y. Yamashita<sup>7</sup>, S. Yoshikawa<sup>3</sup>, T. Matsushima<sup>8</sup>, Y. Kohno<sup>8</sup>,  
and M. Hori<sup>8</sup>.

1: Akita University

2: Tokyo Institute of Technology

3: Kyoto University

4: Hokkaido University

5: University of Tokyo

6: National Institute of Earth Science and Disaster prevention

7: Aichi University of Education

8: Kyushu University

### 1. はじめに

群馬県北西端に位置する草津白根火山は1805年の噴火活動が記録に残されて以来、たびたび噴火活動が報告されてきた活動レベルの高い活火山である（たとえば気象庁, 1984）。最近では1982-83年に水蒸気爆発を発生したほか、1989年にも微噴火を発生している（井田・他, 1989, 平

林, 1996)。このようにいまなお活発な活動が続いている草津白根火山は首都圏から数時間のところにありその立地を生かして観光開発が進められた結果、山頂部へのアクセスがもっとも容易な活火山のひとつでもある。アクセスが容易であるが故にもっとも噴火被害の危険性が高い湯釜火口の際にまで無防備な旅行者の入り込みが可能となり、草津白根火山は他の活火山に比べて火山活動を対象とした防災対策を充実させることが強く要請されている。火山活動を対象とした防災対策の充実のためには火山活動状況の把握と湯釜火口の地下活動のメカニズムを知ることが重要な課題である。

草津白根火山では火山活動状況の把握と湯釜火口の地下活動の解明を目的として、これまでに3回の集中総合観測が行われてきた。これらの集中総合観測などの結果から、湯釜を中心とする山頂火口群の一つである水釜付近の地下で熱水活動が行われていることが示唆された(井田・他, 1989, 桂・他, 1996, 手塚・他, 1996)。

熱水活動を含む活火山の地下活動の状況を監視する際のバロメーターのひとつとして、火山性地震あるいは火山性微動の発生頻度が用いられる。草津白根火山ではこれらの火山地震学的現象を監視することを目的として東京大学地震研究所による常設地震観測網が稼働していたが、2000年以降東京工業大学の手によって高密度地震観測ネットワークが整備され火山性地震の検知能力が向上した(森・他, 2001)。さらに詳細な地下活動の把握を行うためには、火山性地震の震源決定精度を改良する必要があり、震源決定の際の基礎的な物理量である地震波速度構造の精度向上の要請が高まっていた。

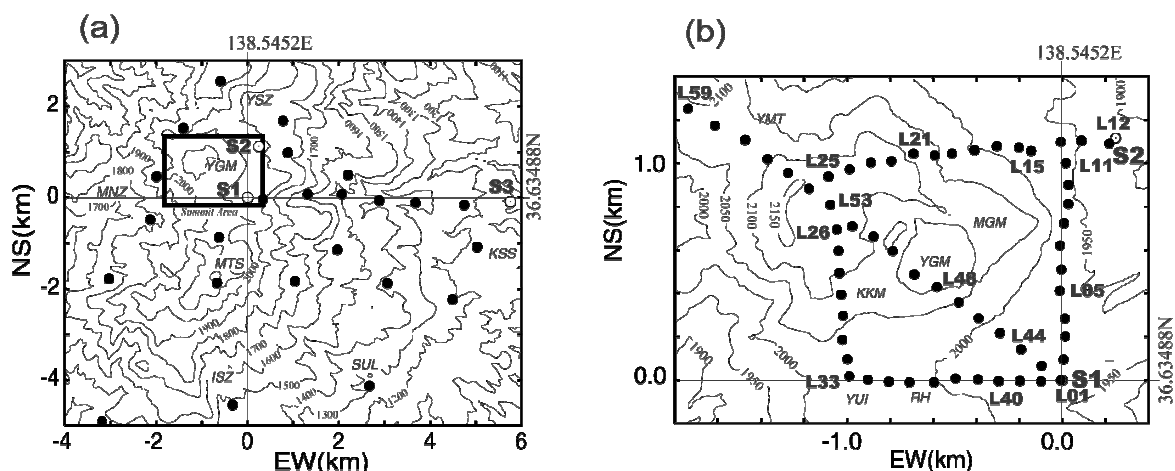
このような背景をふまえ、2003年に行われた草津白根火山集中総合観測では地下活動に対する地震学的アプローチを推進させるべく、人工地震探査が一つの項目として加えられた。今回の人工地震探査のねらいを以下に述べる。

- 1) 草津白根火山山体の地震波速度構造を実証的にとらえる
- 2) 湯釜火口とその周辺の詳細な地下構造イメージを得る

本稿ではこの人工地震探査観測の詳細について述べる。なお、目的1)については鬼澤・他(本報告書)に、目的2)については筒井・他(本報告書)に述べられている。

## 2. 人工地震観測の概要

本項目は2003年9月25日～10月1日の期間に実施された。人工地震の震源には合計40kgのダイナマイト発破を用い、山頂部に2ヶ所および山麓に1ヶ所の発破点を配置した。山頂部の2発破点ではそれぞれ5kgの薬量を用い、山麓では30kgの薬量を用いた。これら3つの発破点に加えて合計96点の臨時観測点からなる観測網を展開した。観測網は発破点S1およびS2を結び高密度に配置された71点から構成される山頂部(Summit)観測網と、発破点S3から草津白根火山山体全域に展開された25点からなる広域(Regional)観測網から構成された。山頂部観測網では擬似反射記録法(Tsutsui, 1992)による湯釜周辺の浅部構造の地下構造イメージングを狙い、また広域観測網ではP波初動走時解析ならびに振幅解析による草津白根火山山体の地震波速度構造を狙っている。観測点測位にはラピッドスタティック法GPS測位とトータルステーションをもちいた。観測網を地形図上にプロットしたものを第1図に示す。



第 1 図：草津白根火山構造探査測線。(a)広域(Regional)観測網、(b)山頂域(Summit)観測網を示す。ともに黒丸は臨時観測点を、白丸は発破点を示す。YGM:湯釜、MTS:本白根山、MNZ:万座温泉、KSS:草津温泉、SUL:草津硫黄鉱山、ISZ:石津硫黄鉱山、YMT:山田峠、MGM:水釜、KKM:涸釜、YUI:弓ヶ池、RH:草津白根レストハウス。

発破作業は9月28日21時30分から22時にかけて15分間隔で行われ、83観測点で良好な波形データを取得した。また、人工地震探査のために展開された臨時観測網では草津白根火山山頂部に発生する火山性地震の諸元の把握を目的として、9月29日早朝まで自然地震の待ち受け観測が行われ、複数の自然地震波形記録を得ることができた。自然地震観測の報告は堀・他(本報告書)に述べられている。

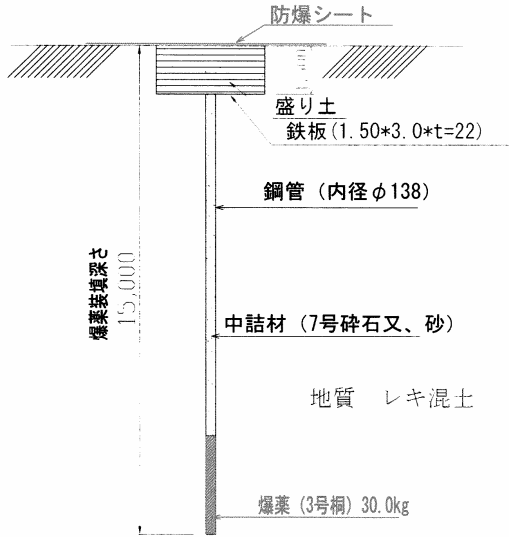
## 2. 発破作業

人工地震探査計画の具体的な検討は2004年6月4~6日にかけて東工大火山流体センターで行われた。これまで行われてきた火山体構造探査の実績をもとに当初計画の測線長を勘案して、物理探査技術協会(1979)を参考に山頂部5kg、山麓部30kgの発破を用いることとした。また、発破点の発破深度はハウザーの公式と物理探査技術協会(1979)を参考に、薬量5kgの発破S1およびS2に対して発破深度約6m、薬量30kgのS3に対して15mとした。発破点S1、S2はユンボを用いて5m×5m×深さ6mの縦穴を掘削の上、ケーシングパイプを埋設した。発破点S3はエア吹き工法で爆破孔掘削を行った。

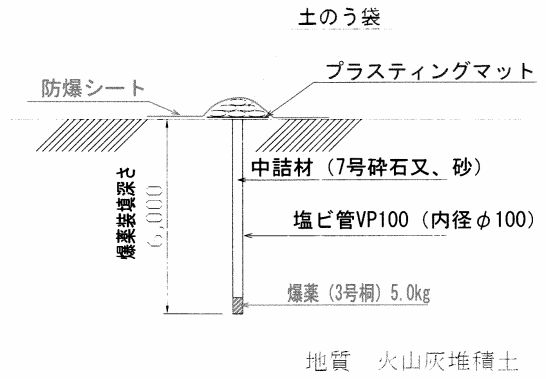
発破点工作の詳細を第2図に示す。発破に伴う吹き上がりを避けるためにS1およびS2地点では孔口に置いたブラスティングマットの上に土嚢を積み、さらに土嚢の飛散防止として防爆シートで覆った。S3地点での吹き上がり防止対策としては孔口を1.5m×3mの鉄板でふさぎ、その上に1.5m厚の盛り土を施した上にユンボを載せた。当日の発破点の状況を写真1に示す。

さらに発破孔内の火薬の工作の詳細を第3図に示す。火薬には桐3号ダイナマイト(1本100g)を用い、地震探査用雷管で点火を行った。不発対策として発破点S1およびS2ではダイナマイト50本に4本の地震探査用雷管を用いた。同様に発破点S3ではダイナマイト300本に10本の地震探査用雷管を用いた。発破孔に火薬を装填後、タンピング材として砂を込めた。

S3 地点 断面図

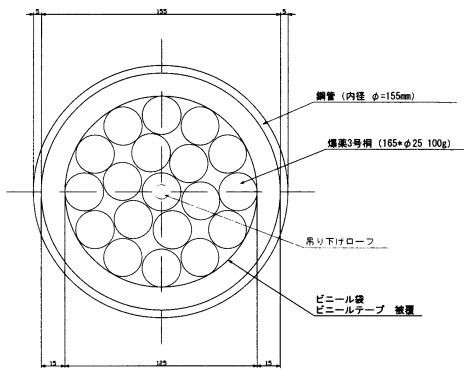


S1, S2 地点 断面図



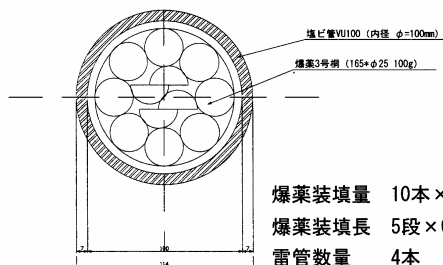
第2図：発破点工作図。左は S3 地点、右は S1, S2 地点を示す。

装填断面図



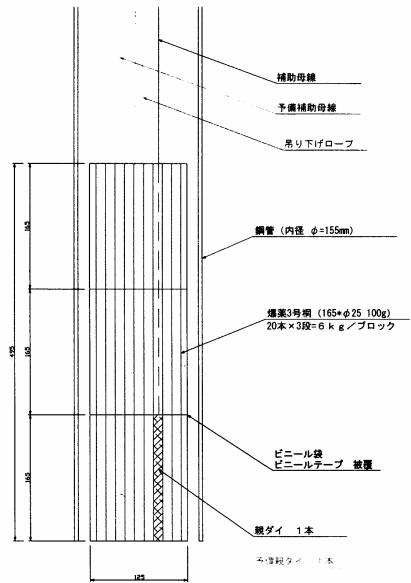
S1、S2地点 爆薬装填図

装填断面図



爆薬装填量 10本×5段=5kg  
 爆薬装填長 5段×0.165m≒0.825m  
 雷管数量 4本

装填側面図



爆薬装填量 5ブロック×6kg=30kg  
 爆薬装填長 5ブロック×0.495m≒2.500m  
 雷管数量 5ブロック×2本=10本

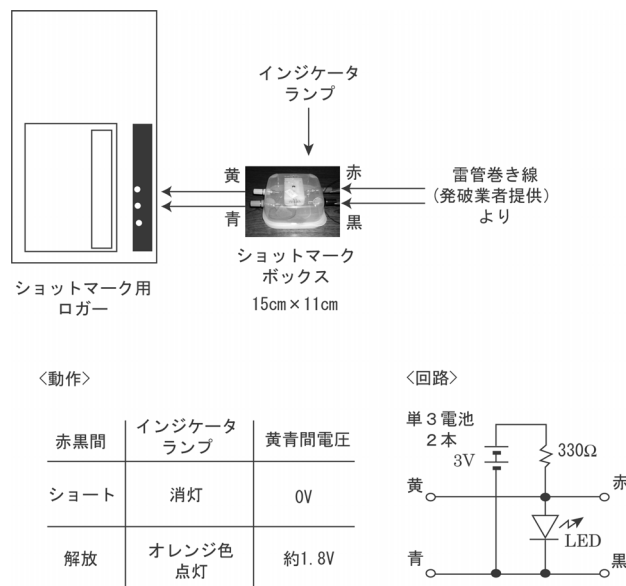
第3図：火薬工作図。下左は S1, S2 地点爆薬装填計画。残りは S3 地点装填計画を示す。



写真1：発破点 S3（森 健彦 撮影）。中央のユンボの下に発破孔がある。

発破の正確な時刻を知るために第4図に示すショットマーク発生装置を製作し、孔外雷管とともに現地で用いた。電源として単3乾電池2本をもちいる簡単な回路であるが、ショットマーク発生完了がインジケータランプ(LED)の点灯で確認できる。発破前の結線完了状態で0Vが、発破完了状態でLEDの順方向電圧降下に相当する電圧1.7Vがショットマーク出力にあらわれる。この出力をデータロガーLS8000SHに入力し、1kHzでサンプリングしたものをショットマーク観測データとした。

9月28日の発破スケジュールは事前に大学関係者と発破業者との間で綿密に打ち合わせが重ねられた。県境に位置する草津白根火山では山頂部自動車道路への交通量が日没後に著しく減少することと、草津町での人工ノイズ発生状況とを勘案して21:30から15分間隔で発破作業を行うこととした。



第4図：ショットマークボックス

なお、発破点 S1 については業者のミスによる絶縁不良のためにショットマークが得られなかった。発破 S1 の発破時刻の推定と 2 回の発破時刻の詳細については筒井・他（本報告書）の付録に記述されている。

### 3. 臨時観測点の展開

人工地震の観測を目的とした臨時観測点の展開は 9 月 26 日～27 日にかけて行われた。本観測参加者が 6 班に分かれ、観測点設置を 4 班が受け持ち、残りの 2 班で測量を行った。合計 96 観測点のうち 84 点を上下動成分で構成し、残りの 12 点で三成分観測を行った。観測網を構成する観測点および発破点の座標を、その詳細とともに第 1 表に示す。

合計 96 点の臨時観測点を構成する装置の組み合わせは次の 3 種類である。76 点の上下動観測点および 8 点の 3 成分観測点(L01-L59, R01-R19, R91-R97)では固有周波数 2Hz の L-22D と LS8000SH（森田・浜口, 1996；白山工業製）を使用した。8 観測点(H81-H88)では LS8000SH との比較を目的として 4.5Hz の地震計 GS-11D(GeoSpace 社製)と LS8200SD（白山工業製）を用いて観測を行った。Q71～Q74 は LE-3Dlite（レナルツ社製）と LZ8000（松島他, 1998；白山工業製）を使用した。

臨時観測点はつぎのように 2 つの観測網に割り当てられた。71 点が山頂部観測網を構成し、L01～L59 観測点はほぼ 100m～150m 間隔で設置された。H81～H88 観測点および Q71～Q74 観測点は L01～L59 観測点のカバーする範囲内に設置された。残りの 25 点(R01～R97 観測点)は 1～4km 間隔で広域観測網を構成した。なお、Q71～Q74 観測点における観測の詳細は堀・他（本報告書）に記述されている。

すべての発破が完了した翌日、臨時観測点の撤去作業とともに観測データの回収が行われた。全 96 観測点のうち、89 点で波形データを得ることができた。データを得られなかった点ではスケジュール設定ミスおよび地震計系統の断線・転倒の他にバッテリー消耗が主な原因であった。

### 4. 観測波形とその特徴

本発破によって広域観測網で得られた人工地震波形を第 5 図 a～c に示す。第 5 図は縦軸に震源距離(km)、横軸に走時(s)をとって表示している。第 5 図 a, b にみられるように発破 S1, S2 は震源距離約 3km の距離まで初動が明瞭に確認できる。一方発破 S3 では震源距離 10km を超えて明瞭に初動が確認される（第 5 図 c）。なお第 5 図は山頂部観測網を含む領域を示しているが、図の見やすさを考慮して山頂部観測網の波形は一部のみをプロットした。山麓部の発破 S3 に対する初動では約 2.5km/s の見かけ速度が震源距離 2km 以下の場所で観測されるとともに、約 6km/s の見かけ速度が震源距離 5.5km 以上の場所で観測される。

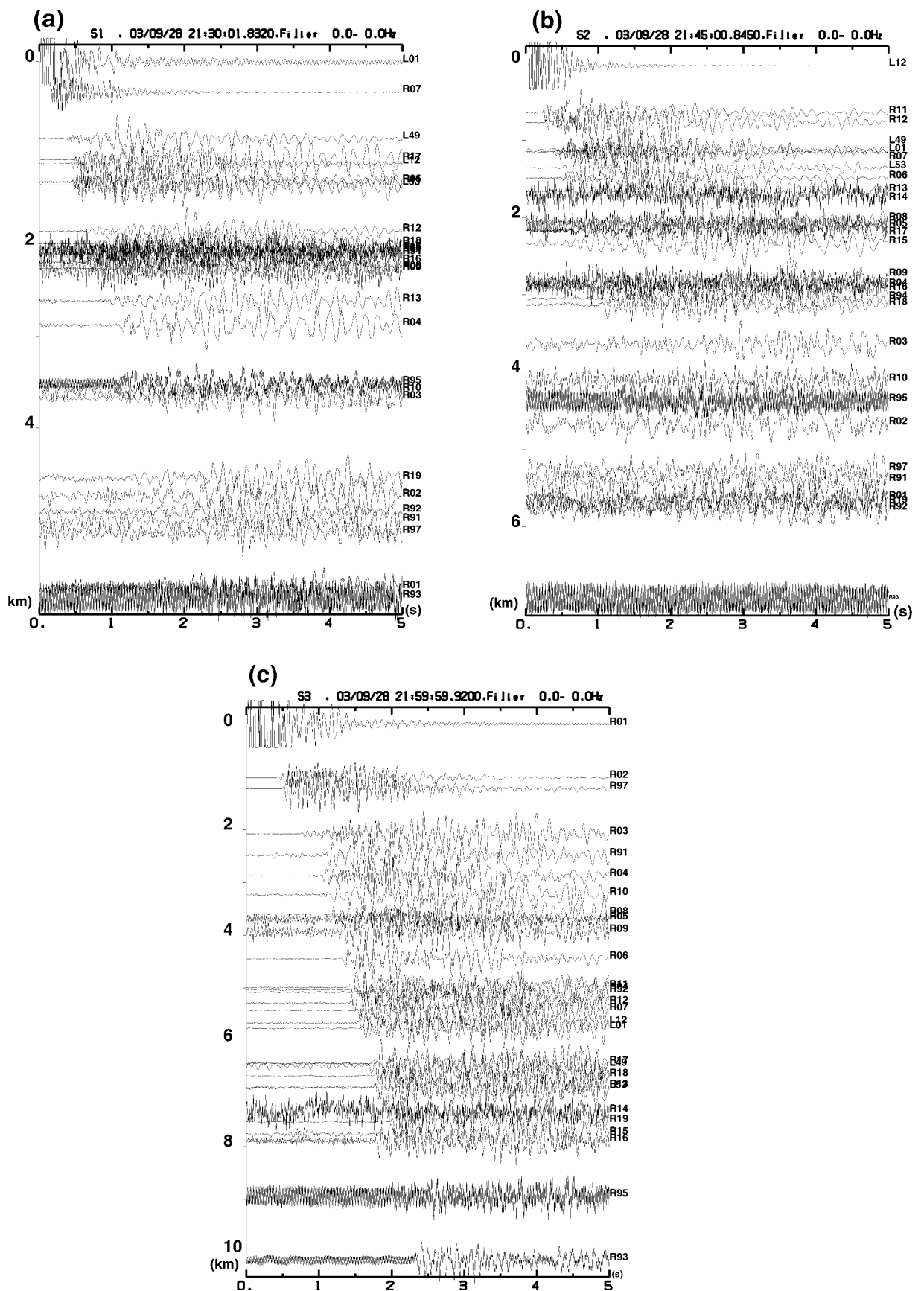
Region	Station	Coordinate (Tokyo Datum)			Altitude [m]	Measurement	Comp.	Logger		Number	Men. Samp. Freq [MHz]	Number	Sensor		Sensitivity [V/m/s]	Field Note	Remark
		Latitude [deg]	Latitude [min]	Latitude [sec]				Number	Men. [MHz]				Comp.	Nat. Freq. [Hz]			
Shot	S1	36	38	5.58	138	32	42.74	1974	Static	1	1000	4	2				
Shot	S2	36	38	41.77	138	32	52.63	1934	Static	1	1000	4	2				
Shot	S3	36	38	2.55	138	36	34.36	1079	Total Station	1	1000	4	2				
Summit	L01	36	38	5.88	138	32	42.43	1980	D/PGS	3	250	20	2	0.7	57.4		
Summit	L02	36	38	8.66	138	32	42.92	1967	Total Station	1	250	20	2	0.7	57.4		
Summit	L03	36	38	12.09	138	32	43.21	1968	Total Station	1	250	20	2	0.7	57.4		
Summit	L04	36	38	14.79	138	32	43.18	1968	Total Station	1	250	20	2	0.7	57.4		
Summit	L05	36	38	18.93	138	32	42.20	1970	Total Station	1	250	20	2	0.7	57.4		
Summit	L06	36	38	22.12	138	32	42.53	1982	Total Station	3	250	20	2	0.7	57.4		
Summit	L07	36	38	25.71	138	32	42.27	1982	Total Station	1	250	20	2	0.7	57.4		
Summit	L08	36	38	29.02	138	32	42.98	1976	Total Station	1	250	20	2	0.7	57.4		
Summit	L09	36	38	31.91	138	32	43.79	1961	Total Station	1	250	20	2	0.7	57.4		
Summit	L10	36	38	34.80	138	32	43.43	1956	Total Station	1	250	20	2	0.7	57.4		
Summit	L11	36	38	37.88	138	32	43.43	1956	Total Station	1	250	20	2	0.7	57.4		
Summit	L12	36	38	40.96	138	32	46.27	1950	Total Station	1	250	20	2	0.7	57.4		
Summit	L13	36	38	41.42	138	32	42.44	1962	Total Station	3	250	20	2	0.7	57.4		
Summit	L14	36	38	41.19	138	32	42.44	1962	Total Station	3	250	20	2	0.7	57.4		
Summit	L15	36	38	39.86	138	32	36.85	1978	Total Station	1	250	20	2	0.7	57.4		
Summit	L16	36	38	40.38	138	32	34.55	1984	Total Station	1	250	20	2	0.7	57.4		
Summit	L17	36	38	40.59	138	32	30.46	1991	Total Station	1	250	20	2	0.7	57.4		
Summit	L18	36	38	39.96	138	32	26.26	1997	Rapid Static	1	250	20	2	0.7	57.4		
Summit	L19	36	38	39.44	138	32	22.09	2026	Rapid Static	1	250	20	2	0.7	57.4		
Summit	L20	36	38	39.18	138	32	18.82	2060	Rapid Static	3	250	20	2	0.7	57.4		
Summit	L21	36	38	39.45	138	32	14.90	2071	Rapid Static	1	250	20	2	0.7	57.4		
Summit	L22	36	38	38.35	138	32	10.77	2102	Rapid Static	1	250	20	2	0.7	57.4		
Summit	L23	36	38	38.11	138	32	6.93	2119	Rapid Static	1	250	20	2	0.7	57.4		
Summit	L24	36	38	37.12	138	32	2.93	2120	Rapid Static	1	250	20	2	0.7	57.4		
Summit	L25	36	38	36.05	138	31	58.97	2120	Rapid Static	3	250	20	2	0.7	57.4		
Summit	L26	36	38	28.12	138	32	0.55	2097	Rapid Static	1	250	20	2	0.7	57.4		
Summit	L27	36	38	24.91	138	32	0.85	2097	Rapid Static	1	250	20	2	0.7	57.4		
Summit	L28	36	38	21.61	138	32	1.04	2090	Rapid Static	1	250	20	2	0.7	57.4		
Summit	L29	36	38	18.37	138	32	7.88	2079	Rapid Static	3	250	20	2	0.7	57.4		
Summit	L30	36	38	15.21	138	32	1.71	2061	Rapid Static	1	250	20	2	0.7	57.4		
Summit	L31	36	38	11.60	138	32	1.57	2053	Rapid Static	1	250	20	2	0.7	57.4		
Summit	L32	36	38	8.70	138	32	2.52	2016	Rapid Static	1	250	20	2	0.7	57.4		
Summit	L33	36	38	6.16	138	32	2.90	2010	Rapid Static	3	250	20	2	0.7	57.4		
Summit	L34	36	38	5.64	138	32	6.34	2020	Rapid Static	1	250	20	2	0.7	57.4		
Summit	L35	36	38	5.34	138	32	10.30	2012	Rapid Static	1	250	20	2	0.7	57.4		
Summit	L36	36	38	5.26	138	32	14.12	2008	Rapid Static	1	250	20	2	0.7	57.4		
Summit	L37	36	38	5.25	138	32	18.69	2000	Rapid Static	1	250	20	2	0.7	57.4		
Summit	L38	36	38	5.80	138	32	22.72	1991	Rapid Static	3	250	20	2	0.7	57.4		
Summit	L39	36	38	5.38	138	32	26.61	1990	Total Station	1	250	20	2	0.7	57.4		
Summit	L40	36	38	5.43	138	32	30.79	1988	Total Station	1	250	20	2	0.7	57.4		
Summit	L41	36	38	5.45	138	32	34.79	1982	Total Station	1	250	20	2	0.7	57.4		
Summit	L42	36	38	5.37	138	32	38.70	1978	Total Station	1	250	20	2	0.7	57.4		
Summit	L43	36	38	7.71	138	32	38.80	1971	Total Station	1	250	20	2	0.7	57.4		
Summit	L44	36	38	10.14	138	32	34.97	1975	Total Station	1	250	20	2	0.7	57.4		
Summit	L45	36	38	12.62	138	32	31.02	1987	Total Station	1	250	20	2	0.7	57.4		
Summit	L46	36	38	14.82	138	32	27.05	2016	Total Station	1	250	20	2	0.7	57.4		
Summit	L47	36	38	17.22	138	32	23.34	2051	Total Station	1	250	20	2	0.7	57.4		
Summit	L48	36	38	19.50	138	32	19.29	2047	Rapid Static	3	250	20	2	0.7	57.4		
Summit	L49	36	38	21.39	138	32	15.01	2037	Rapid Static	1	250	20	2	0.7	57.4		
Summit	L50	36	38	24.89	138	32	11.03	2093	Rapid Static	1	250	20	2	0.7	57.4		
Summit	L51	36	38	27.05	138	32	7.39	2084	Rapid Static	1	250	20	2	0.7	57.4		
Summit	L52	36	38	28.58	138	32	3.44	2096	Rapid Static	1	250	20	2	0.7	57.4		
Summit	L53	36	38	31.80	138	31	59.35	2112	Rapid Static	1	250	20	2	0.7	57.4		
Summit	L54	36	38	34.23	138	31	55.37	2130	Rapid Static	1	250	20	2	0.7	57.4		
Summit	L55	36	38	36.62	138	31	51.46	2116	Rapid Static	1	250	20	2	0.7	57.4		
Summit	L56	36	38	38.63	138	31	47.62	2084	Rapid Static	1	250	20	2	0.7	57.4		
Summit	L57	36	38	41.52	138	31	43.41	2060	Rapid Static	1	250	20	2	0.7	57.4		
Summit	L58	36	38	44.71	138	31	38.61	2082	Rapid Static	1	250	20	2	0.7	57.4		
Summit	L59	36	38	46.21	138	31	32.77	2083	Rapid Static	1	250	20	2	0.7	57.4		
Regional	R01	36	38	2.2	138	36	34.0	1097	e-trex	1	250	20	2	0.7	57.4		
Regional	R02	36	38	0.3	138	35	53.6	1251	e-trex	1	250	20	2	0.7	57.4		
Regional	R03	36	38	1.8	138	35	10.6	1326	e-trex	1	250	20	2	0.7	57.4		
Regional	R04	36	38	3.5	138	34	38.6	1409	e-trex	1	250	20	2	0.7	57.4		

第1表 発破点・臨時観測点座標。Region 欄の Summit は山頂部観測網を、Regional は広域観測網を構成する観測点であることを示す。

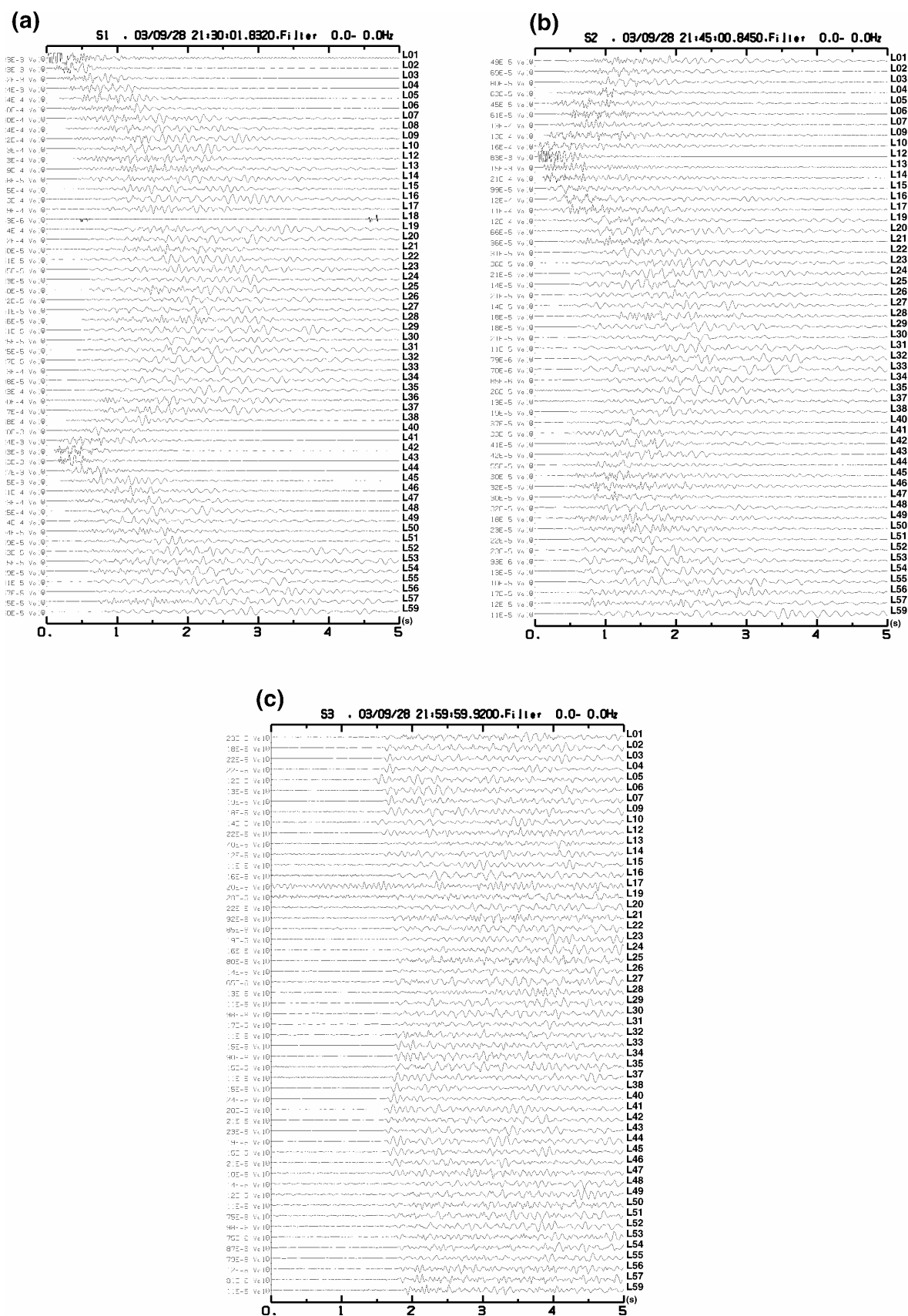
Region	Station	Coordinate (Tokyo Datum)						Comp.	Measurement	Number	Mern. Stamp [MHz]	Nat. Freq [Hz]	Damp. Const.	Sensitivity [V/m/s]	Field Note	Remark
		deg	min	sec	deg	min	sec									
Regional	R05	36	38	7.9	138	34	5.7	1465	1	有線030	20	250	0.7	57.4	川のノイズ大	
Regional	R06	36	38	7.9	138	33	35.5	1649	1	有線031	20	250	0.7	57.4		
Regional	R07	36	38	4.3	138	32	56.2	1903	1	有線032	20	250	0.7	57.4		
Regional	R08	36	38	21.7	138	34	11.4	1562	1	有線033	20	250	0.7	57.4		
Regional	R09	36	37	28.4	138	34	1.8	1548	1	有線034	20	250	0.7	57.4		
Regional	R10	36	37	4.6	138	34	45.9	1350	1	有線035	20	250	0.7	57.4		
Regional	R11	36	38	37.5	138	33	18.3	1856	1	有線036	20	250	0.7	57.4		
Regional	R12	36	39	0.1	138	33	13.9	1831	1	有線037	20	250	0.7	57.4		
Regional	R13	36	39	28.2	138	32	18.8	2177	1	有線038	20	250	0.7	57.4		
Regional	R14	36	38	55.0	138	31	46.0	2074	1	有線039	20	250	0.7	57.4		
Regional	R15	36	38	20.5	138	31	22.4	2029	1	有線040	20	250	0.7	57.4		
Regional	R16	36	37	50.0	138	31	16.8	1762	1	有線226	20	250	0.7	57.4		
Regional	R17	36	37	37.3	138	32	17.6	2035	1	有線227	20	250	0.7	57.4		
Regional	R18	36	37	4.8	138	32	15.9	2148	1	有線228	20	250	0.7	57.4		
Regional	R19	36	35	38.3	138	32	29.6	1487	1	有線229	20	250	0.7	57.4		
Regional	R20	36	35	53.1	138	35	43.3	1207	1	有線077	4	250	0.7	57.4		
Regional	R21	36	35	51.8	138	34	30.1	1266	1	有線078	4	250	0.7	57.4		
Regional	R22	36	35	26.6	138	30	34.3	1472	1	有線079	4	250	0.7	57.4		
Regional	R23	36	37	6.2	138	33	24.3	1759	1	有線080	4	250	0.7	57.4		
Regional	R24	36	37	8.1	138	30	40.6	1778	1	有線081	4	250	0.7	57.4		
Regional	R25	36	37	30.5	138	36	5.1	1176	1	有線082	4	250	0.7	57.4		
Hakusan	H81	36	38	5.41	138	32	42.17	1977	1	01010	500	500	4.5	0.7	82.7	旧L01. 単一エリア.
Hakusan	H82	36	38	7.49	138	32	38.60	1970	1	01019	500	500	4.5	0.7	82.7	旧L43
Hakusan	H83	36	38	9.90	138	32	34.80	1972	1	01020	500	500	4.5	0.7	82.7	旧L44. データなし.
Hakusan	H84	36	38	12.46	138	32	30.72	1985	1	01011	500	500	4.5	0.7	82.7	旧L45
Hakusan	H85	36	38	14.64	138	32	26.72	2013	1	01018	500	500	4.5	0.7	82.7	旧L46. データなし.
Hakusan	H86	36	38	9.99	138	32	31.44	1978	1	01013	500	500	4.5	0.7	82.7	旧H03
Hakusan	H87	36	38	11.02	138	32	32.51	1979	1	01014	500	500	4.5	0.7	82.7	旧H01
Hakusan	H88	36	38	12.13	138	32	34.52	1979	1	01016	500	500	4.5	0.7	82.7	旧H02
Continuous	O71	36	38	16.99	138	32	23.07	2048	3		200	200	1	0.7	400	旧O01
Continuous	O72	36	38	31.68	138	32	23.70	2080	3		200	200	1	0.7	400	旧O02
Continuous	O73	36	38	44.16	138	32	35.58	1981	3		200	200	1	0.7	400	旧O03
Continuous	O74	36	38	37.02	138	32	3.66	2124	3		200	200	1	0.7	400	旧O04

第1表 (つづき)





第5図：広域(regional)観測網における観測記録。(a)発破点 S1, (b)発破点 S2, (c)発破点 S3。



第6図： 山頂部(Summit)観測網における波形記録例。(a)発破点 S1, (b)発破点 S2, (c)発破点 S3。

さらに山頂部観測網で得られた波形記録を第6図a~cに示す。第6図の横軸は走時(s)であるが、観測点ごとに波形記録を等間隔に並べて示した。山頂観測網内では発破S1, S2のいずれも明瞭に初動が観測される(第6図a, b)。また、震源距離が6-8kmの範囲である山麓における発破S3に対しても明瞭な初動が観測されている(第6図c)。

山頂部の発破S1およびS2の初動は震源距離2km付近まで約3km/s以上の見かけ速度を示すが、震源近傍では4km/sを超える見かけ速度を示す。さらに第6図cの各波形では北西ほど後続相の出現走時が系統的に早くなる傾向が認められ、東に向かって深くなる基盤深度分布の傾向(牧野・他, 2002)と調和的であることから、湯釜近傍の浅部構造の影響を反映していることが期待される。解析結果については鬼澤・他(本報告書)、筒井・他(本報告書)に記述されている。

## 5. まとめ

今回の集中観測では草津白根火山の地下構造調査を目的に、3地点における発破を山体上に展開された96臨時観測点で観測した。草津白根火山山頂部では観測点間隔100~150mの高密度観測網の中で薬量5kgの発破を2ヶ所で行い、山麓では薬量30kgの発破を1ヶ所で行った。山頂部の発破ではいずれも震源距離3kmまで初動が明瞭に観測された。初動走時は震源近傍で4km/sを超える見かけ速度を示した後、震源距離2km付近まで3km/sの見かけ速度を示す。山麓の発破は震源距離10kmを超えて明瞭な初動が観測された。山麓の発破に対する初動走時は震源距離2km以内では2.5km/sの見かけ速度を示し、震源距離5.5km以上の地点では約6km/sの見かけ速度を示す。さらに山麓の発破に対する山頂部観測網の各点では系統的に出現時刻が変化する後続相が認められる。以上のことから今回の観測で得られた観測データは草津白根山の地下構造の解明に貢献するであろうことが期待される。

## 謝辞

本観測の実施にあたり、草津町、六合村の皆様にご理解をいただき、絶大なる協力を賜った。また、草津町役場、株式会社コクド、群馬県中之条土木事務所、群馬県中之条行政事務所、環境省万座自然保護官事務所、林野庁吾妻森林管理署にはご助力をいただいた。発破孔の作孔には山田工業株式会社の協力を得た上、円滑かつ安全な発破作業は久住土建株式会社の献身的な協力に負うところが大きかった。利根コンサルタンツ東北支店伊藤憲哉氏には本計画の立ち上げの際にお世話になった。また、ショットタイムの取得のための雷管周りの工作は日本油脂(株)民田利明氏にご指導をいただいた。本観測は東京大学地震研究所客員教官研究費、及び東京大学地震研究所共同利用研究費(課題番号:2003-G-17、研究課題:重複反射波を用いた火山体内部構造の推定の試み)を用いて行われた。

## 引用文献

物理探鉱技術協会(1979) 土木地質調査における屈折法地震探査の調査計画に関する要項、物理探鉱. 32, 252-269.

平林順一(1996) 草津白根山の最近の活動状況、第3回草津白根山の集中総合観測報告書、1。堀 美緒・河野裕希・松島 健・鬼澤真也・平林順一・野上健治・草津白根集中観測 人工地

震探査グループ (2004) 草津白根火山における火山性地震の震源分布、本報告書.

井田喜明・長田 昇・沢田宗久・小山悦郎・鍵山恒臣 (1989) 草津白根山における常設地震観測と1989年1月の小噴火、地震研究所彙報、**64**, 325-345.

桂 郁雄・川東慶子・Djedi S. Widarto・西村 進・茂木 透・下泉政志・西田潤一・楠 建一郎・鈴木浩一・藤光康宏・城森 明・山本哲也・山崎 明・田口陽介 (1996) 草津白根山でのCSMTおよびTDEM探査、第3回草津白根山の集中総合観測報告書、61-72.

気象庁 (1984) 草津白根山, 日本活火山総覧, 183-193.

牧野雅彦・渡辺史郎・住田達哉・小川康雄(2002) 草津白根山の重力探査、月刊地球、号外 **No. 39**, 52-56.

松島 健・清水 洋・植平賢司・安達繁樹・安藤 浩 (1998) 地震観測用小型テレメタリングシステムの開発、日本地震学会秋季大会、P04.

森 健彦・平林順一・野上健治・金嶋 聰・須藤靖明・吉川 慎 (2001) 草津白根火山における地震観測、地球惑星科学関連学会2001年合同大会予稿集, Jp-P012.

森田裕一・浜口博之 (1996) 火山体構造探査のための高精度小型データロガーの開発、火山、**41**, 127-139.

手塚雅美・山崎 明・中谷 清・中島新三郎・小島美都子 (1996) 草津白根山における全磁力観測、第3回草津白根山の集中総合観測報告書、53-60.

Tsutsui, T. (1992) Pseudo Reflection Profiling Method: an efficient complement to the CDP method, *Geophysical Prospecting*, **40**, 15-30.

筒井智樹・草薙智浩・梶井達矢・鬼澤真也・森 健彦・野上健治・平林順一・小川康雄・水橋正英・及川光弘・齋藤政城・若林 亨・高木憲朗・鈴木敦生・田中麻貴・及川 純・中道治久・山下祐一郎・吉川 慎・松島 健・河野裕希・堀 美緒 (2004) 草津白根火山湯釜火口周辺の地震反射断面 - 擬似反射記録法による反射断面の推定 - 、本報告書

鬼澤真也・森 健彦・筒井智樹・平林順一・野上健治・松島 健・草津白根集中観測 人工地震探査グループ (2004) 草津白根火山における人工地震探査 - P波速度構造 - 、本報告書